

РОССИЙСКАЯ АКАДЕМИЯ НАУК

СИБИРСКОЕ ОТДЕЛЕНИЕ

А В Т О М Е Т Р И Я

---

№ 4

1998

УДК 621.315.592

**В. М. Осадчий, А. О. Сусяков, В. В. Васильев, С. А. Дворецкий**

(Новосибирск)

**ЭФФЕКТИВНОЕ ВРЕМЯ ЖИЗНИ  
НЕОСНОВНЫХ НОСИТЕЛЕЙ ЗАРЯДА В МЛЭ-СЛОЯХ CdHgTe  
С ПЕРЕМЕННЫМ ПРОФИЛЕМ СОСТАВА ПО ГЛУБИНЕ**

Проведены расчеты эффективного времени жизни носителей заряда в варизонных структурах из CdHgTe *n*-типа с учетом оже-рекомбинации и рекомбинации на дислокациях. Показано, что введение варизонных широкозонных слоев позволяет исключить влияние поверхностной рекомбинации и получить высокие эффективные времена жизни даже при высоких плотностях дислокаций (выше  $10^7 \text{ см}^{-2}$ ). Получено согласие измеренных и рассчитанных времен жизни носителей заряда в варизонных структурах, выращенных методом МЛЭ.

**Введение.** Фотоэлектрические характеристики фоторезисторов на основе соединений кадмий–рутуть–теллу́р (КРТ) определяются временем жизни неосновных носителей заряда, которое зависит как от структурного совершенства материала, так и от скорости поверхностной рекомбинации.

Существует ряд подходов к решению задачи пассивации поверхности: с помощью изолирующих слоев [1], а также при выращивании *in situ* широкозонных [2] или варизонных слоев [3]. Теоретически исследовались только первые два случая [1, 2, 4].

Для улучшения структурного совершенства в эпитаксиальных методах выращивания обычно используют подложки, которые по параметру решетки согласованы с эпитаксиальным слоем КРТ. Так, в структурах КРТ, выращенных на подложках CdZnTe методом молекуллярно-лучевой эпитаксии (МЛЭ) [5, 6], согласованных по параметру решетки, наблюдается плотность дислокаций  $3 \cdot 10^5 - 3 \cdot 10^6 \text{ см}^{-2}$ . В то же время в структурах КРТ, выращенных на подложках GaAs с буферными слоями CdTe [6, 7], наблюдается более высокая плотность дислокаций ( $2 \cdot 10^6 - 5 \cdot 10^7 \text{ см}^{-2}$ ).

Известно, что дислокации могут проявлять электрическую активность [8], в том числе вносить основной вклад в рекомбинацию неравновесных носителей заряда и определять время их жизни. Из измерений поверхностного потенциала было показано [9], что на границе с окислом время жизни в объемном КРТ (с составом кадмия  $x_{\text{Cd}} = 0,3$ ) в приповерхностном слое зависит от плотности дислокаций  $n_d$ . Наряду с этим, измерения, проведенные с помощью эффекта фотопроводимости и дающие время жизни

для структуры в целом, показали, что времена жизни в 2 раза больше, чем измеряемые в приповерхностной области при той же плотности дислокаций. На наш взгляд, такая разница может быть связана с рекомбинацией на границе раздела окисел – КРТ и зависимостью скорости поверхностной рекомбинации от плотности дислокаций, выходящих на поверхность КРТ.

В работе [6] исследовалась зависимость времени жизни от плотности дислокаций в структурах КРТ, выращенных на CdZnTe- и GaAs-подложках. Авторы утверждают, что наблюдаемые времена жизни могут быть связаны с рекомбинацией носителей заряда на дислокациях в объеме КРТ так же, как и в [9]. Показано, что при плотностях дислокаций выше  $2 \cdot 10^6 \text{ см}^{-2}$  в структурах КРТ на подложках GaAs времена жизни резко уменьшаются с 200 до 20 нс. Поскольку низкие времена жизни в [9] наблюдались в приповерхностной области, возможно, низкие времена жизни в [6] связаны с влиянием поверхностной рекомбинации.

Известно, что введение неоднородного потенциального рельефа в структуру фотодиода приводит к увеличению времени жизни [10]. В работе [3] была разработана методика выращивания эпитаксиальных структур КРТ методом молекуларно-лучевой эпитаксии с измерением состава растущего слоя в реальном масштабе времени. Эта методика позволяет выращивать слои КРТ с любым напечатанным профилем состава КРТ по толщине пленки.

В данной работе численными методами исследуется влияние варизонных слоев на эффективное время жизни носителей заряда в фотодиодах из CdHgTe *n*-типа с профилями состава, близкими к реальным, и проводится сравнение рассчитанных и экспериментально измеренных эффективных времен жизни носителей заряда в гетероструктурах КРТ, выращенных на подложках GaAs методом МЛЭ.

**Модель.** Распределение неравновесных носителей заряда в фотодиоде можно определить из решения одномерного уравнения диффузии, учитывающего рекомбинацию и фотогенерацию носителей заряда и встроенное поле, образующееся вследствие наличия зависимости параметров зонной структуры от координаты. Выражение для дырочного тока  $j_p$  в зависимости от координаты  $y$  по толщине структуры в полупроводнике *n*-типа имеет вид [11]:

$$j_p(y) = \mu_p(y)p(y)k_B T \frac{e^T}{\epsilon_v} \ln n_i^2(y) - \mu_p(y)k_B T \frac{d}{dy} p(y), \quad (1)$$

где  $\mu_p$  – подвижность дырок;  $p$  – их концентрация;  $n_i$  – собственная концентрация носителей заряда;  $T$  – температура;  $k_B$  – постоянная Больцмана. Это выражение получено в приближении малого уровня возбуждения для однородного легирования. Отметим, что в этом приближении  $j_p$  не зависит от электронного состояния, а положение зоны проводимости – от координаты  $y$  [11] (рис. 1, кривая 2).

Уравнение диффузии для неравновесных дырок в CdHgTe *n*-типа имеет вид:

$$\frac{1}{e} \frac{d}{dy} j_p(y) - G(y) + \frac{p(y) - p_0(y)}{\tau(y)} = 0. \quad (2)$$

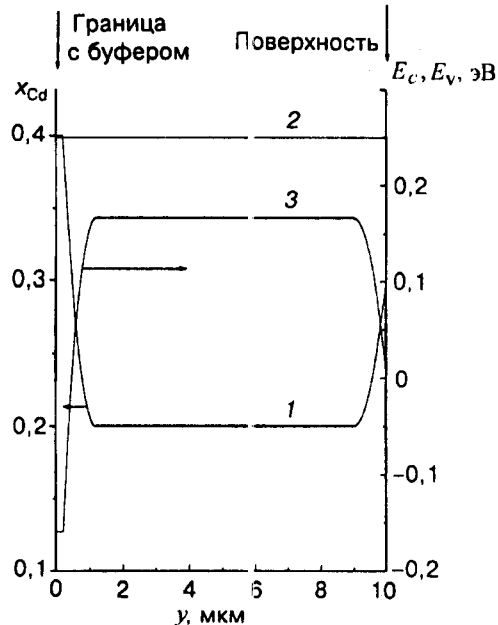


Рис. 1. Профили содержания кадмия (1), края зон проводимости  $E_c$  (2) и валентной зоны  $E_v$  (3) в моделируемой структуре

Здесь  $e$  – заряд электрона;  $p_0$  – равнотесная концентрация дырок в отсутствие излучения;  $G$  – функция фотогенерации носителей:

$$G(y) = \alpha(y) \Phi e^{-\int_0^y \alpha(y') dy'}, \quad (3)$$

где  $\Phi$  – поток падающего излучения;  $\alpha$  – коэффициент поглощения;  $\tau$  – время рекомбинации носителей заряда. В однородном по составу CdHgTe  $n$ -типа это время определяется оже-процессом  $A1$  [12] и далее обозначается как  $\tau_A$ .

Расчет времен рекомбинации на дислокациях на микроскопическом уровне чрезвычайно сложен, поэтому нами использована эмпирическая модель [8], в которой время рекомбинации на дислокации  $\tau_d$  определяется через плотность дислокаций  $n_d$ :

$$\tau_d = \frac{C_d}{n_d}, \quad (4)$$

где  $C_d$  – параметр, зависящий от типа полупроводника, технологии его получения и типа дислокаций.

Суммарное время рекомбинации в уравнении (2) определяется выражением

$$\frac{1}{\tau} = \frac{1}{\tau_A} + \frac{1}{\tau_d}. \quad (5)$$

Расчеты проводились как с учетом рекомбинации по обоим каналам, так и с учетом только оже-рекомбинации. Параметр  $C_d$  в формуле (4) варьировался.

Уравнение (2) решается при задании граничных условий [11]:

$$\begin{aligned} j_p(0) &= -e s_0 [p(0) - p_0(0)], \\ j_p(L) &= e s_l [p(L) - p_0(L)], \end{aligned} \quad (6)$$

где  $L$  – толщина пленки КРТ;  $s_0$  – скорость поверхностной рекомбинации на границе с буфером  $y = 0$ ,  $s_l$  – на поверхности пленки КРТ с  $y = L$ .

Уравнение (2) решалось численно разностными методами [13], а далее находилось эффективное время жизни  $\tau_{\text{eff}}$ , которое определялось из условия равенства числа фотогенерированных носителей за время  $\tau_{\text{eff}}$  количеству неравновесных носителей в структуре:

$$\tau_{\text{eff}} \int_0^L G(y) dy = \int_0^L \Delta p(y) dy. \quad (7)$$

**Результаты и обсуждение.** Расчеты проведены для фоторезистора на основе варизонной структуры КРТ, выращенной на подложке GaAs с буферным слоем CdTe. Профиль состава Cd по толщине пленки (см. рис. 1, кривая 1) близок к профилям в реальных структурах [3]. При этом ширина запрещенной зоны  $E_g = E_c - E_v$  возрастает при приближении к поверхности пленки и к границе с буфером (см. рис. 1). Толщина пленки КРТ  $L = 10$  мкм, толщины варизонных слоев 1 мкм с каждой стороны, содержание кадмия в объеме  $x_{\text{Cd}}^b = 0,2$  и варьируется на поверхности  $x_{\text{Cd}}^s$ . Концентрация электронов  $n = 4 \cdot 10^{14}$  см $^{-3}$ , температура решетки 77 К. Скорость поверхностной рекомбинации слева  $s_0 = 10^5$  см/с, справа –  $s$  и варьируется в пределах от 0 до  $10^7$  см/с.

В расчетах эффективного времени жизни с учетом оже-рекомбинации и рекомбинации на дислокациях в рамках описанной выше эмпирической модели возникает проблема выбора коэффициента  $C_d$  в формуле (4). На двух образцах были измерены рентгеновские кривые качания и времена жизни. Оценка из полуширины кривых качания показывает, что плотности дислокаций в них составили  $(4-5)10^7$  см $^{-2}$ , а времена жизни носителей заряда – 0,4–0,8 мкс. Расчет времен жизни по нашей модели с учетом вышеприведенных данных дает  $C_d = 40-80$  с/см $^2$ .

Расчеты эффективного времени жизни показали, что введение варизонных слоев ведет, как и следовало ожидать, к уменьшению влияния поверхностной рекомбинации, так как вследствие поля отталкивает неосновные носители (в нашем случае дырки) от поверхности (см. рис. 1, кривая 3). Для полного исключения поверхностной рекомбинации достаточно величины  $\Delta x_{\text{Cd}} = x_{\text{Cd}}^s - x_{\text{Cd}}^b = 0,05$  как при учете только оже-рекомбинации, так и при учете рекомбинации по обоим каналам (рис. 2). Эта величина разности состава близка к полученной в работе [2], в которой расчеты проведены для структуры с резким гетеропереходом вблизи поверхности резистора и с учетом только оже-рекомбинации.

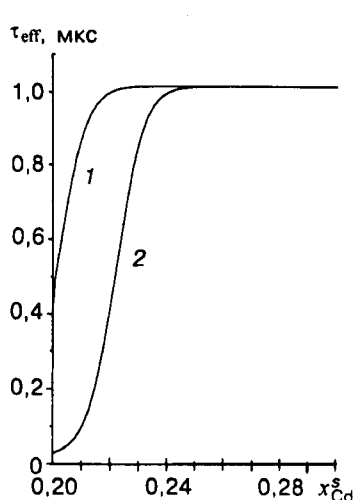


Рис. 2. Эффективное время жизни в структурах с плотностью дислокаций  $5 \cdot 10^7 \text{ см}^{-2}$ ,  $C_d = 60 \text{ с}^{-1} \text{ см}^2$ . Скорость поверхностной рекомбинации (см/с): 1 –  $10^3$ , 2 –  $10^5$

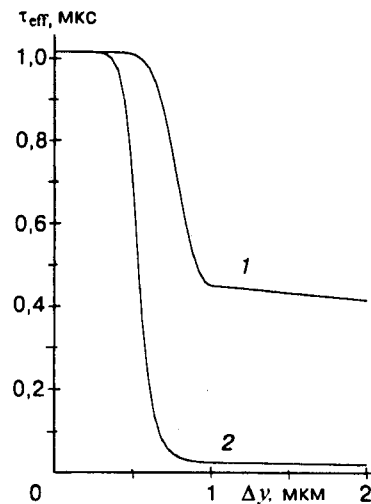


Рис. 3. Изменение эффективного времени жизни от толщины стравленного слоя  $\Delta y$  в структуре с  $x_{Cd}^s = 0,3$ ,  $n_d = 5 \cdot 10^7 \text{ см}^{-2}$ . Скорость поверхностной рекомбинации (см/с): 1 –  $10^3$ , 2 –  $10^5$

На рис. 3 демонстрируется изменение времени жизни носителей заряда при стравливании варизонного слоя на поверхности структуры. Как видим,  $\tau_{\text{eff}}$  резко уменьшается при полном стравливании этого слоя.

Нами также было проведено сравнение рассчитанных и измеренных по релаксации фотопроводимости времен жизни в ряде варизонных структур, профили состава которых приведены на рис. 4. Структуры были выращены методом МЛЭ. В расчетах учитывались времена оже-рекомбинации и рекомбинации на дислокациях. В таблице приведены измеренные и рассчитанные при температуре 77 К времена жизни. Принимаем величину  $n_d = 4 \cdot 10^7 \text{ см}^{-2}$ , так как она находится в пределах, полученных из кривых качания. Видно хорошее согласие рассчитанных и измеренных времен жизни, тогда как времена с учетом только оже-рекомбинации отличаются на порядок от экспериментальных.

Из приведенных результатов можно заключить, что введение варизонных широкозонных слоев позволяет полу-

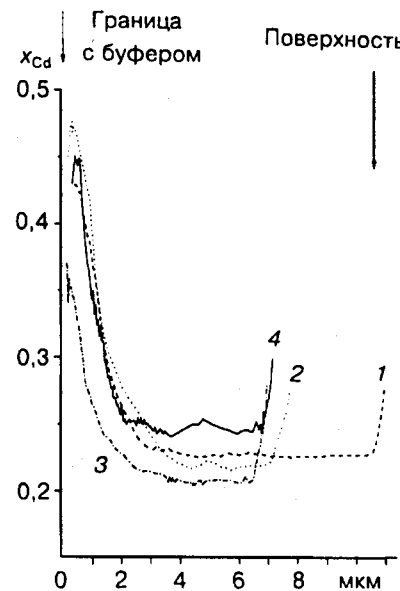


Рис. 4. Профили состава структур. Цифры у кривых – номера образцов

Номер образца	$n, 10^{14} \text{ см}^{-3}$	$\tau_{\text{calc}}^{\text{r}}, \text{ мкс}$	$\tau_{\text{exp}}, \text{ мкс}$	$\tau_{\text{calc}}, \text{ мкс}$	$n_d^{\text{opt}}, 10^7 \text{ см}^{-2}$
1	3,8	24	1,4	1,4	4
2	2,5	40	1,1	1,4	5,3
3	8,6	2,2	1,2	0,9	2,3
4	1,3	370	0,75	1,5	8

Причина:  $\tau_{\text{calc}}^{\text{r}}$  – рассчитанное время жизни, определяемое только оже-рекомбинацией;  $\tau_{\text{exp}}$  – измеренное время;  $\tau_{\text{calc}}$  – рассчитанное время жизни, определяемое оже-рекомбинацией и рекомбинацией на дислокациях с  $C_d = 60 \text{ с}/\text{см}^2$  и  $n_d = 4 \cdot 10^7 \text{ см}^{-2}$ ;  $n_d^{\text{opt}}$  – плотность дислокаций, при которой совпадают величины измеренных и рассчитанных времен жизни.

Чить времена жизни выше 1 мкс даже при плотности дислокаций больше  $10^7 \text{ см}^{-2}$ . Эти значения превышают почти на два порядка значения времен жизни, приведенные в [6] для слоев КРТ с аналогичной плотностью дислокаций, но без варизонных слоев.

По-видимому, в рамках простой эмпирической модели (4) лучшее согласие экспериментальных и рассчитанных времен вряд ли можно получить. Скорость рекомбинации на дислокациях также может иметь зависимость от их плотности, отличную от (4), так как дислокации могут быть не только центрами рекомбинации, но и центрами захвата [8]. Дальнейшее сопоставление экспериментальных и теоретических результатов следует провести при послойном травлении слоев КРТ и измерении времени жизни носителей заряда и плотности дислокаций.

**Заключение.** Показано, что наличие варизонных слоев в фотодиоде ведет к значительному увеличению расчетного эффективного времени жизни носителей заряда. Увеличение содержания кадмия на поверхности по сравнению с объемом на  $\Delta x_{\text{Cd}} = 0,01$  достаточно, чтобы исключить влияние поверхностной рекомбинации на время жизни носителей заряда, и последнее в этом случае определяется только объемными процессами. Введение варизонных слоев позволяет получить достаточно высокие эффективные времена жизни, несмотря на высокую плотность дислокаций (выше  $10^7 \text{ см}^{-2}$ ). Получено удовлетворительное согласие измеренных и рассчитанных с учетом рекомбинации на дислокациях эффективных времен жизни носителей заряда в варизонных структурах, выращенных методом МЛЭ. При этом коэффициент связи времени рекомбинации на дислокациях с их плотностью в формуле (4) составил  $C_d = 40 - 80 \text{ с}/\text{см}^2$ .

Авторы благодарят Л. Д. Бурдину, В. С. Варавина, М. В. Якушева, Н. Н. Михайлова за участие в выращивании epitаксиальных структур КРТ, В. Н. Овсянки, Ю. Г. Сидорова за обсуждение результатов работы.

## СПИСОК ЛИТЕРАТУРЫ

1. Pal R., Bhan R. K., Chhabra K. C., Agnihotri O. P. Analysis of the effect of surface passivant charges on HgCdTe photoconductive detectors // Semicond. Sci. Technol. 1996. **11**. P. 231.
2. Musca C. A., Siliquini J. F., Fynn K. A. et al. MOCVD-grown wider-bandgap capping layers in HgCdTe long-wavelength infrared photoconductors // Ibid. P. 1912.
3. Ovsyuk V. N., Suslyakov A. O., Zakharyash T. I. et al. Infrared photoconductors fabricated on HgCdTe film grown by molecular beam epitaxy // Proc. SPIE. 1996. **2746**. P. 277.
4. Arch D. K., Wood R. A., Smith D. L. High-responsivity HgCdTe heterojunction photoconductor // J. Appl. Phys. 1985. **58**. P. 2360.
5. Rajavel R. D., Jamba D. M., Wu O. K. et al. High performance HgCdTe two-color infrared detectors grown by molecular beam epitaxy // J. Cryst. Growth. 1997. **175/176**. P. 653.
6. Shin S. H., Arias J. M., Zandian M. et al. Effect of the dislocation density on minority carrier life-time in molecular beam epitaxial HgCdTe // Appl. Phys. Lett. 1991. **59**. P. 2718.
7. He L., Yang J. R., Wang S. L. et al. A study of MBE growth and thermal annealing of *p*-type long wavelength HgCdTe // J. Cryst. Growth. 1997. **175/176**. P. 677.
8. Matare H. F. Defect Electronics in Semiconductors. N. Y. – L.: Wiley, 1971.
9. Yamamoto T., Miyamoto Y., Tanikawa K. Minority carrier lifetime in the region close to the interface between the anodice oxide and CdHgTe // J. Cryst. Growth. 1985. **72**. P. 270.
10. Давыдов В. Н., Лоскутова Е. А., Фефелова И. И. Влияние фтора на свойства систем оксид – полупроводниковое соединение  $\text{Al}^{\text{III}}\text{B}^{\text{V}}$  // Микроэлектроника. 1986. **15**. С. 455.
11. Константинов О. В., Царенков Г. В. Фотопроводимость и эффект Дембера в вариационных полупроводниках // ФТП. 1976. **10**. С. 720.
12. Rogalski A., Piotrowski J. Intrinsic infrared detectors // Prog. Quant. Electron. 1988. **12**. P. 87.
13. Самарский А. А., Гулин А. В. Численные методы. М.: Наука, 1989.

Поступила в редакцию 25 мая 1998 г.